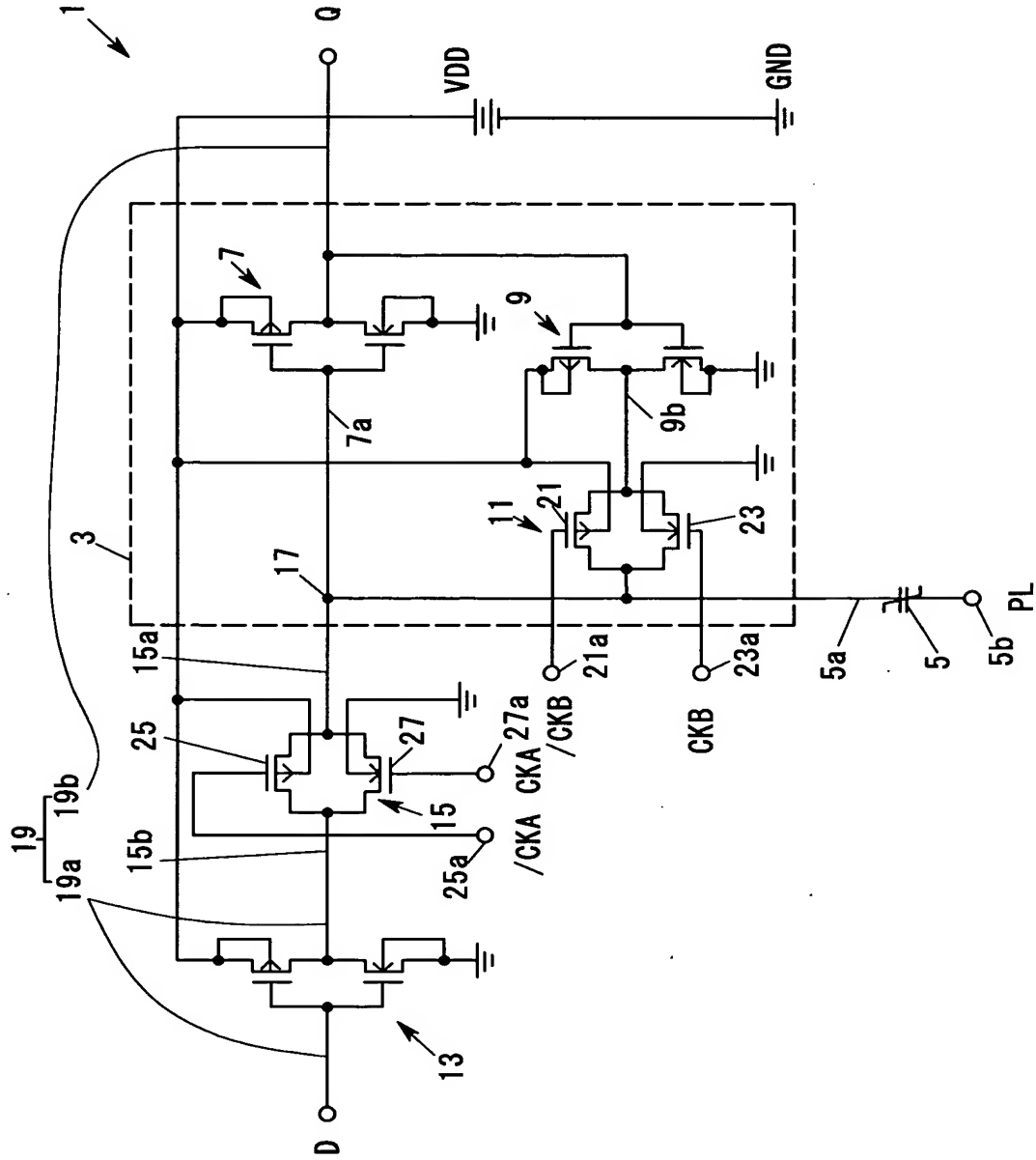


Fig. 1



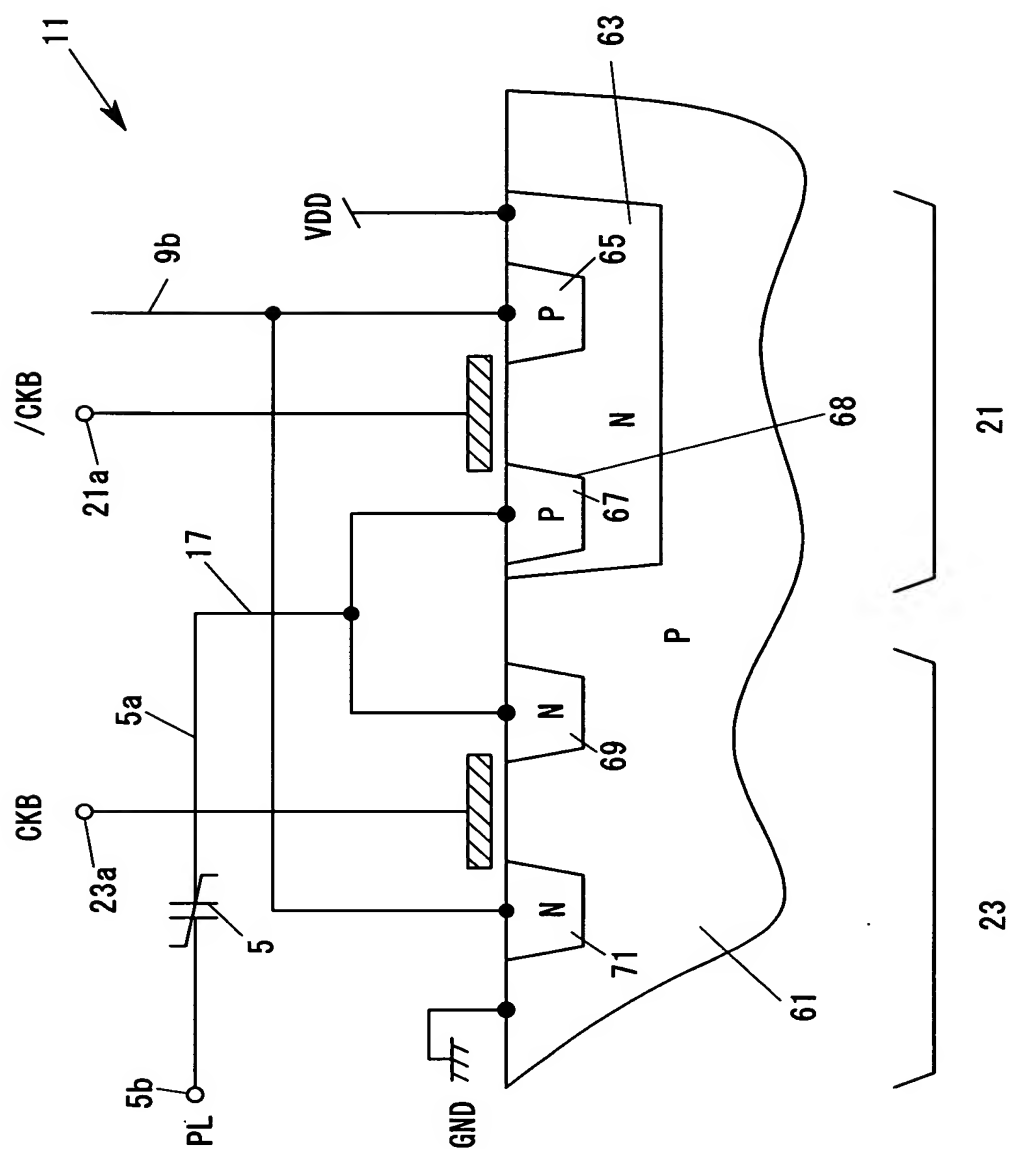




Fig. 4

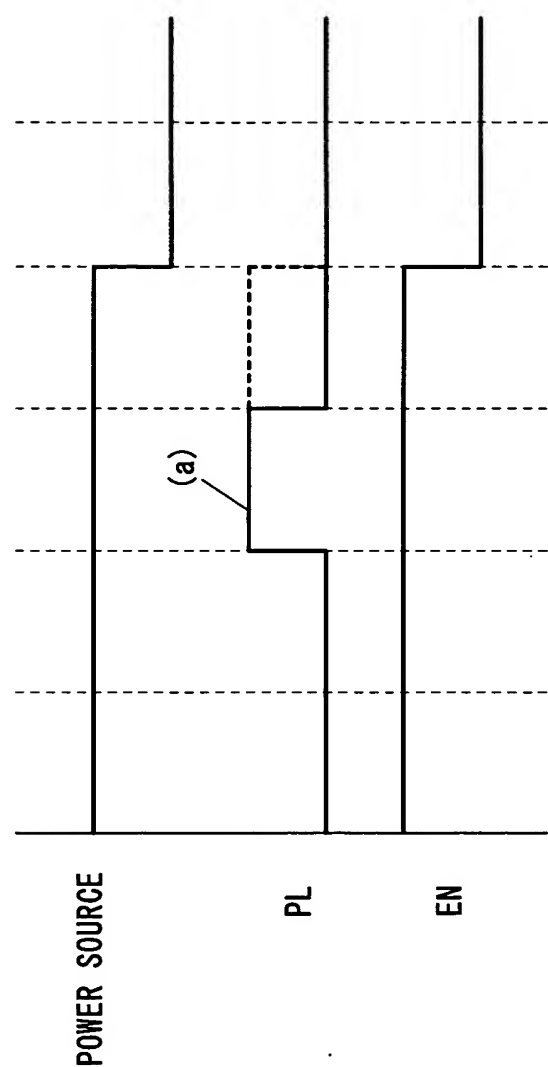


Fig. 5

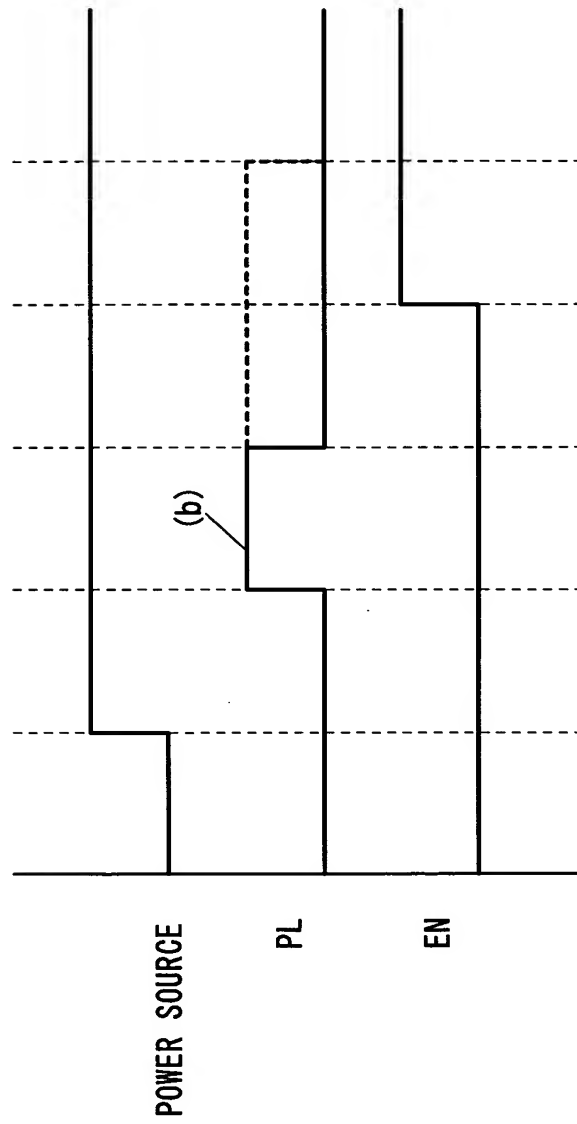


Fig. 6

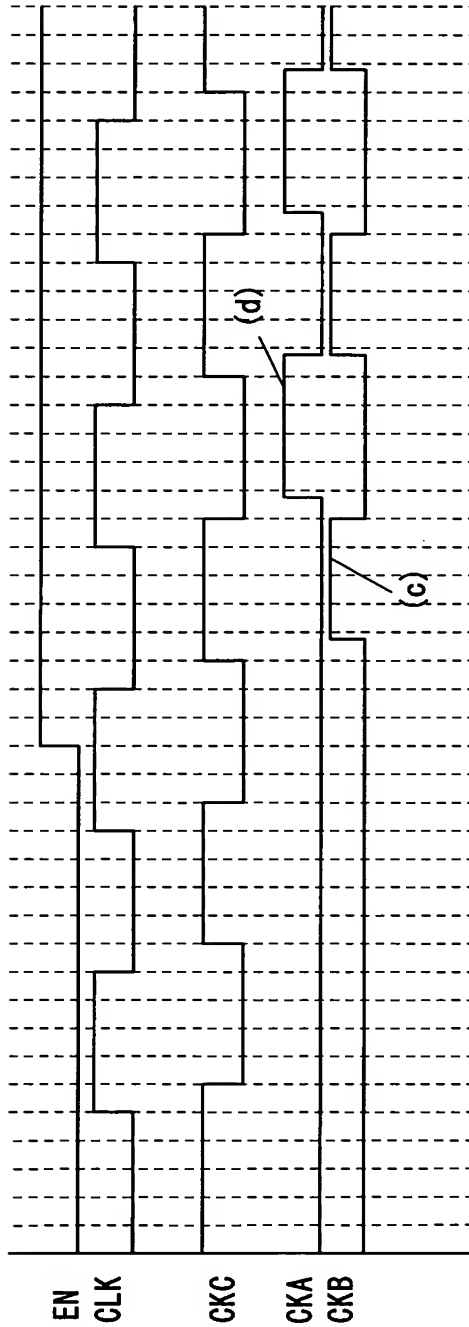
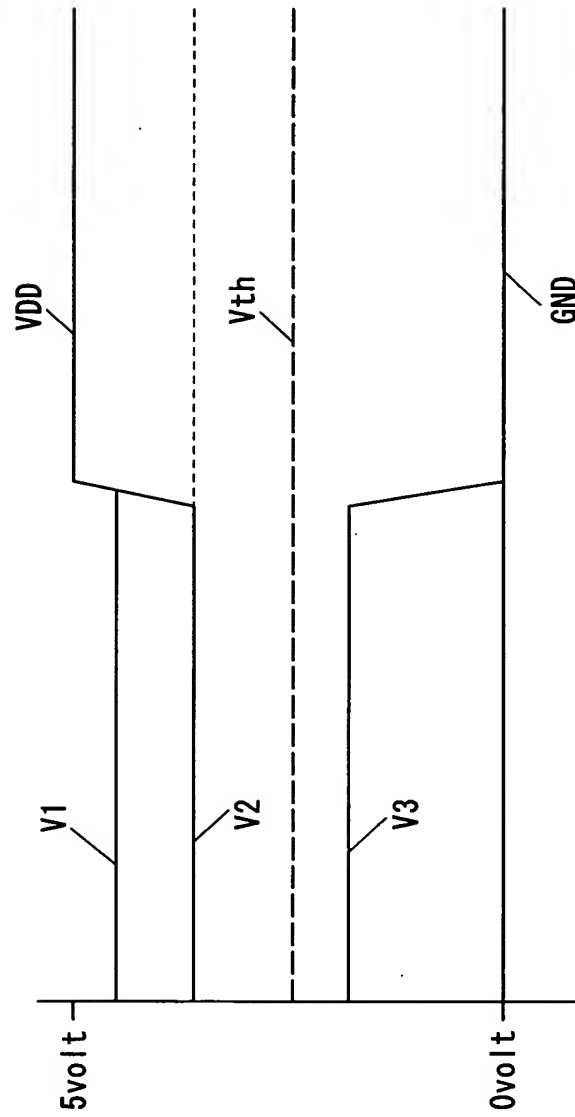


Fig. 7



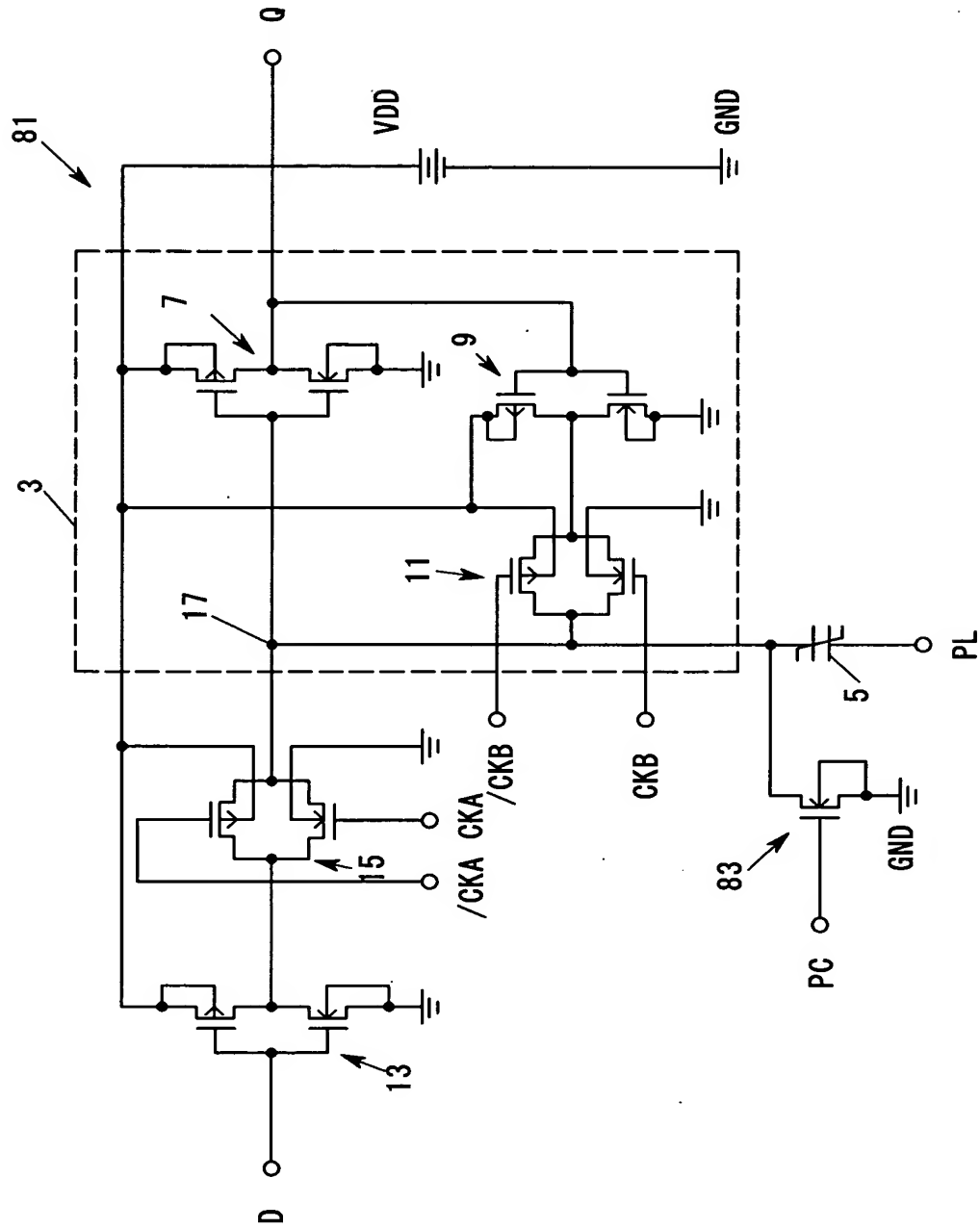
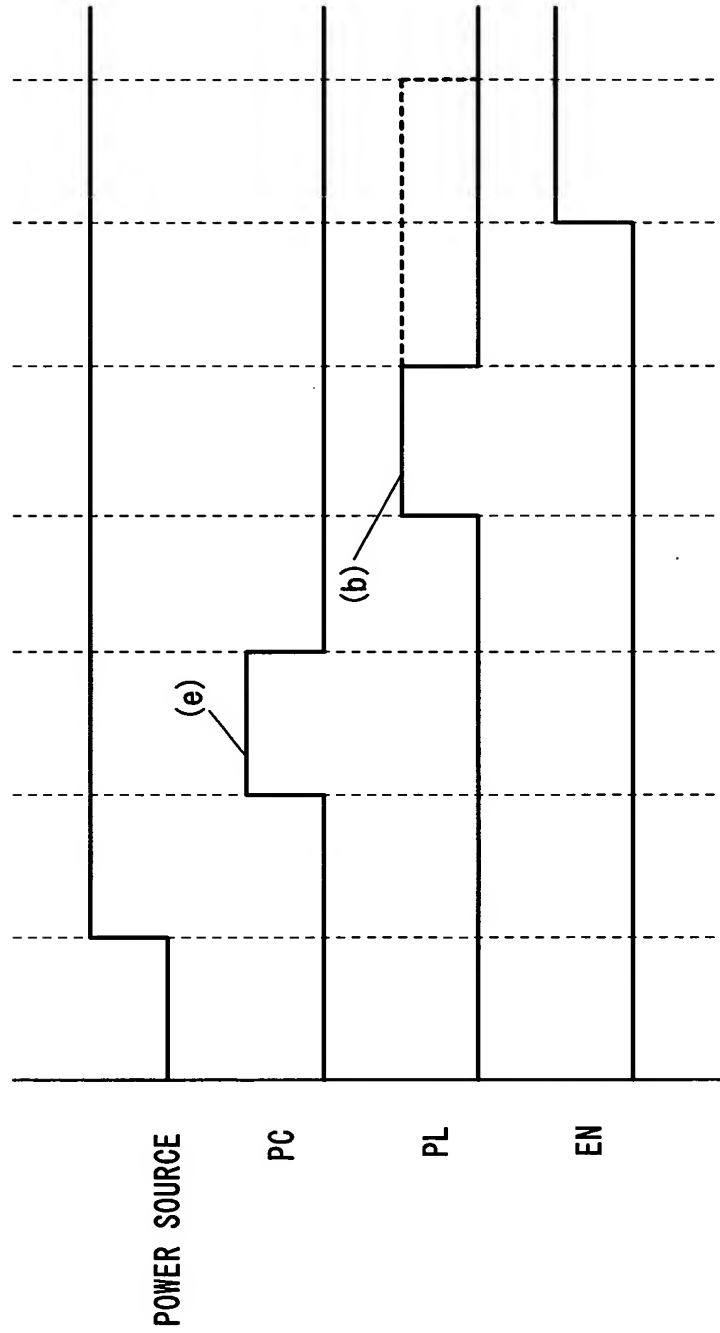


Fig. 8

Fig. 9



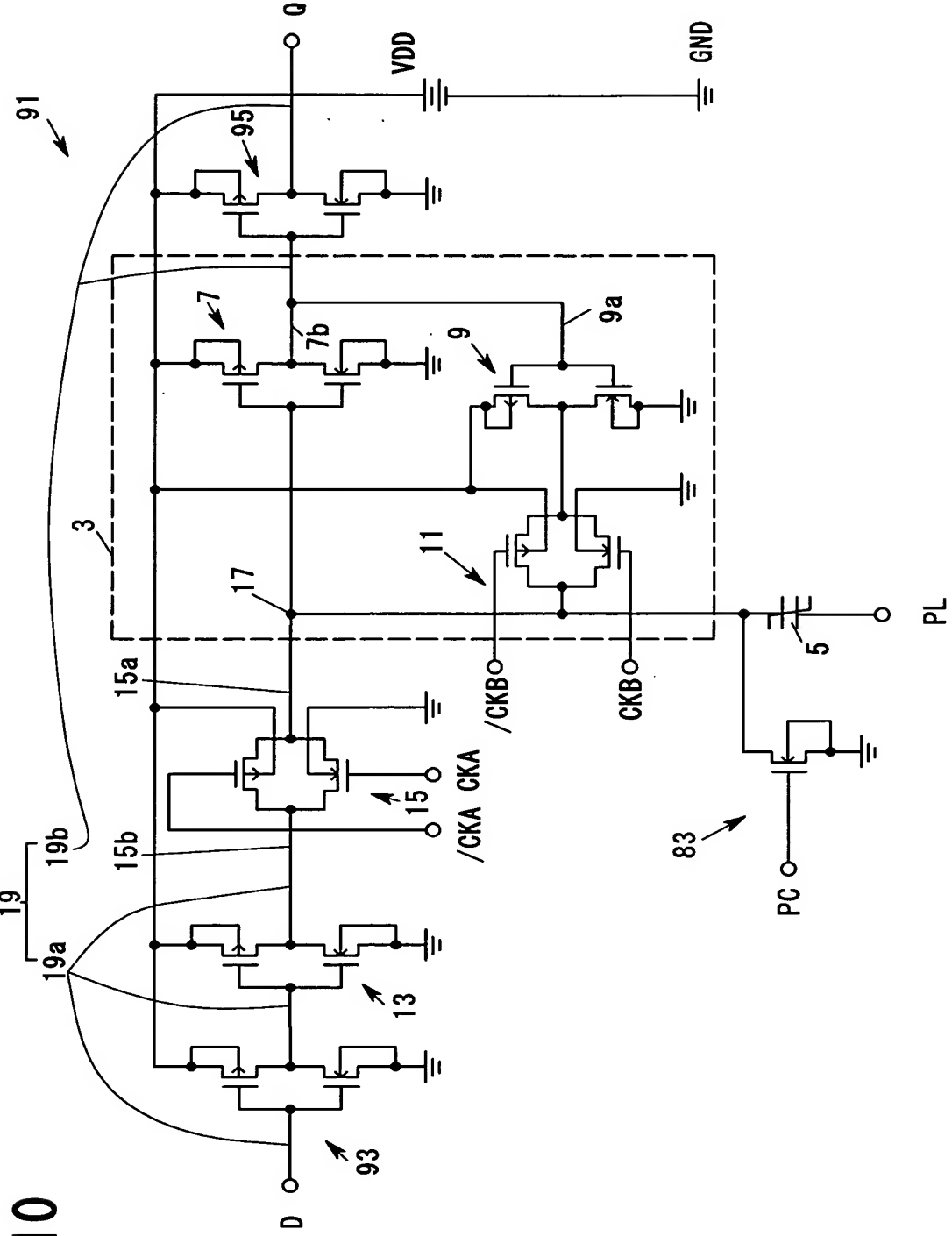


Fig. 10

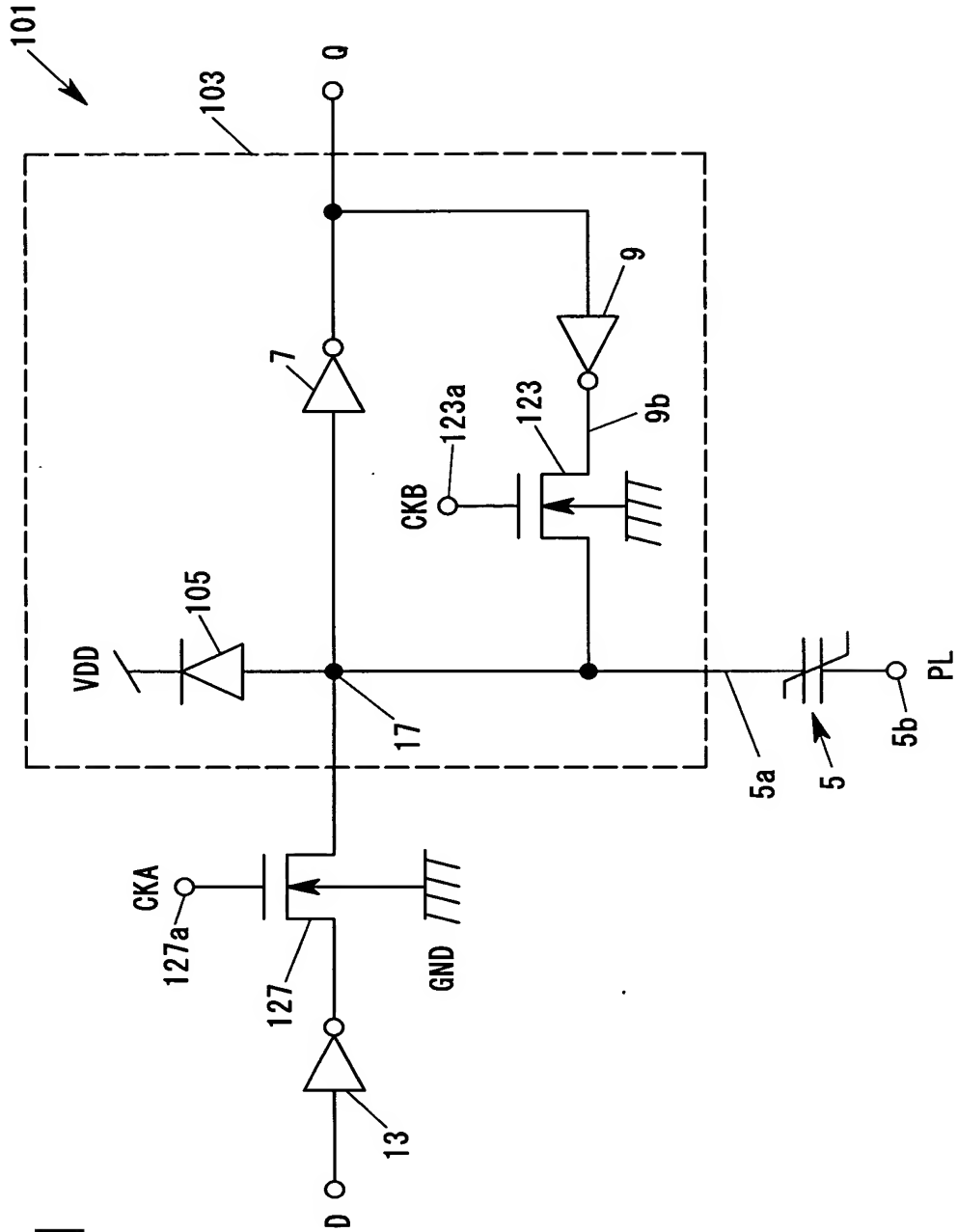


Fig. 11

Fig. 12

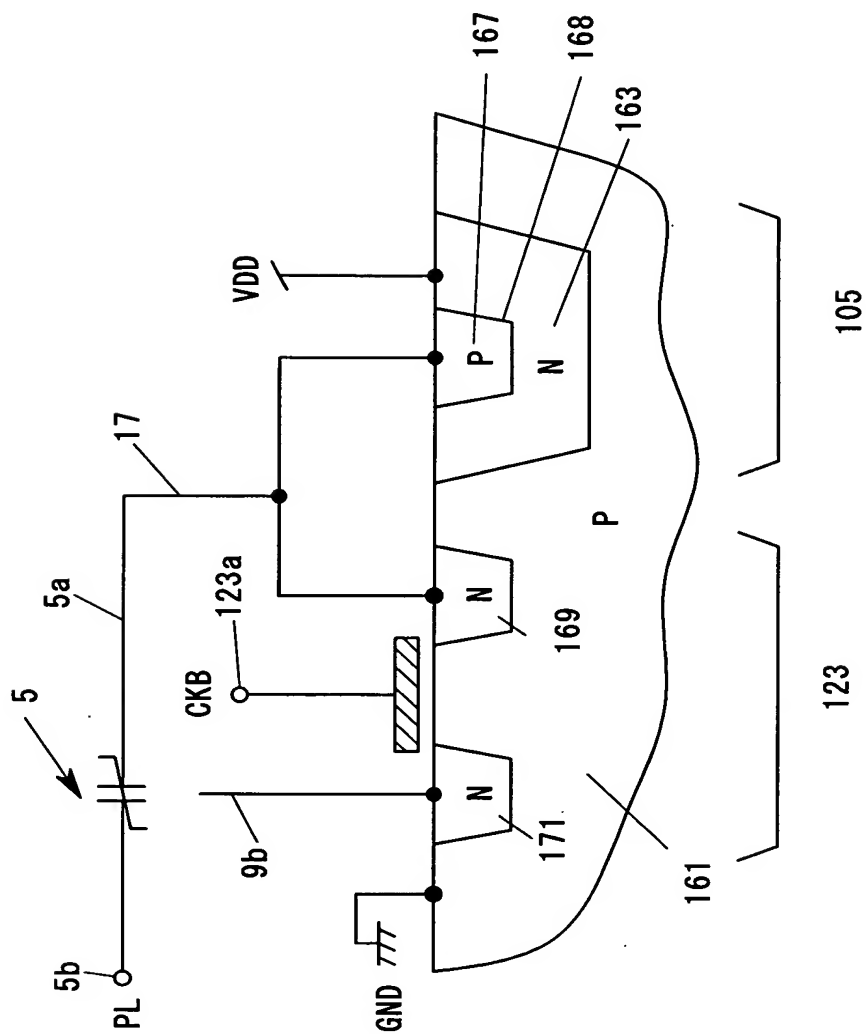


Fig. 13A

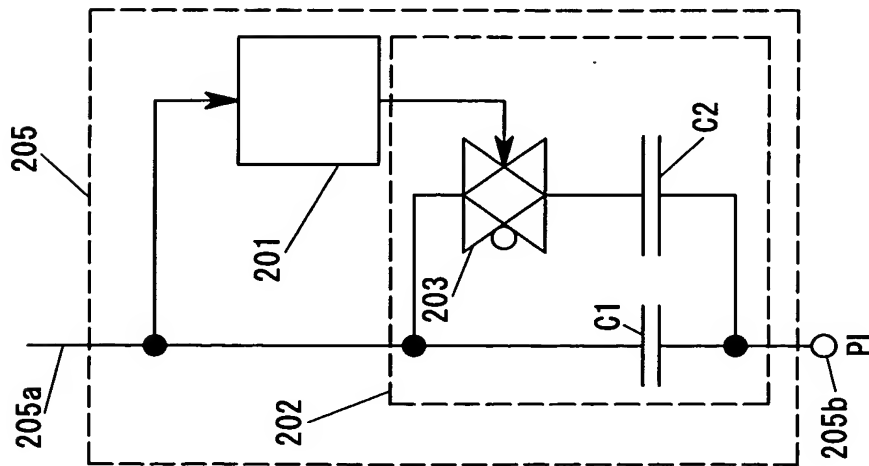


Fig. 13B

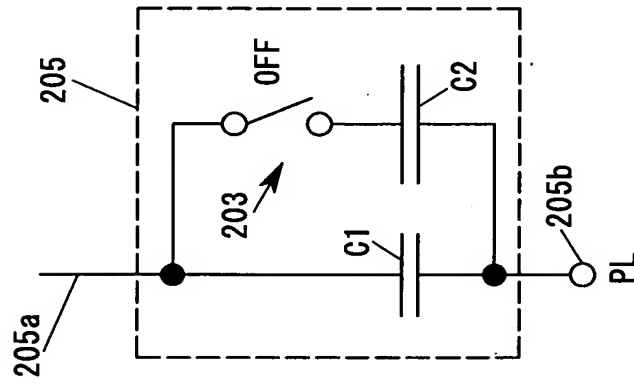


Fig. 13C

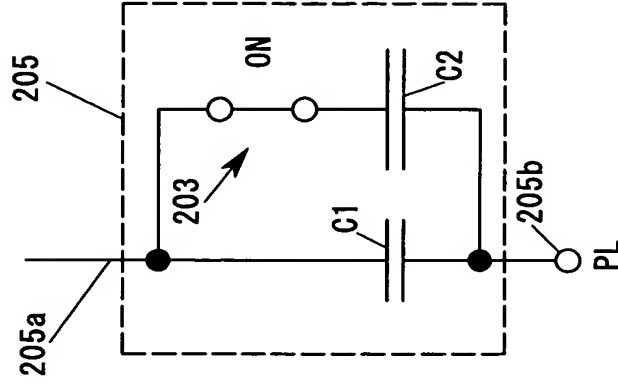


Fig. 14

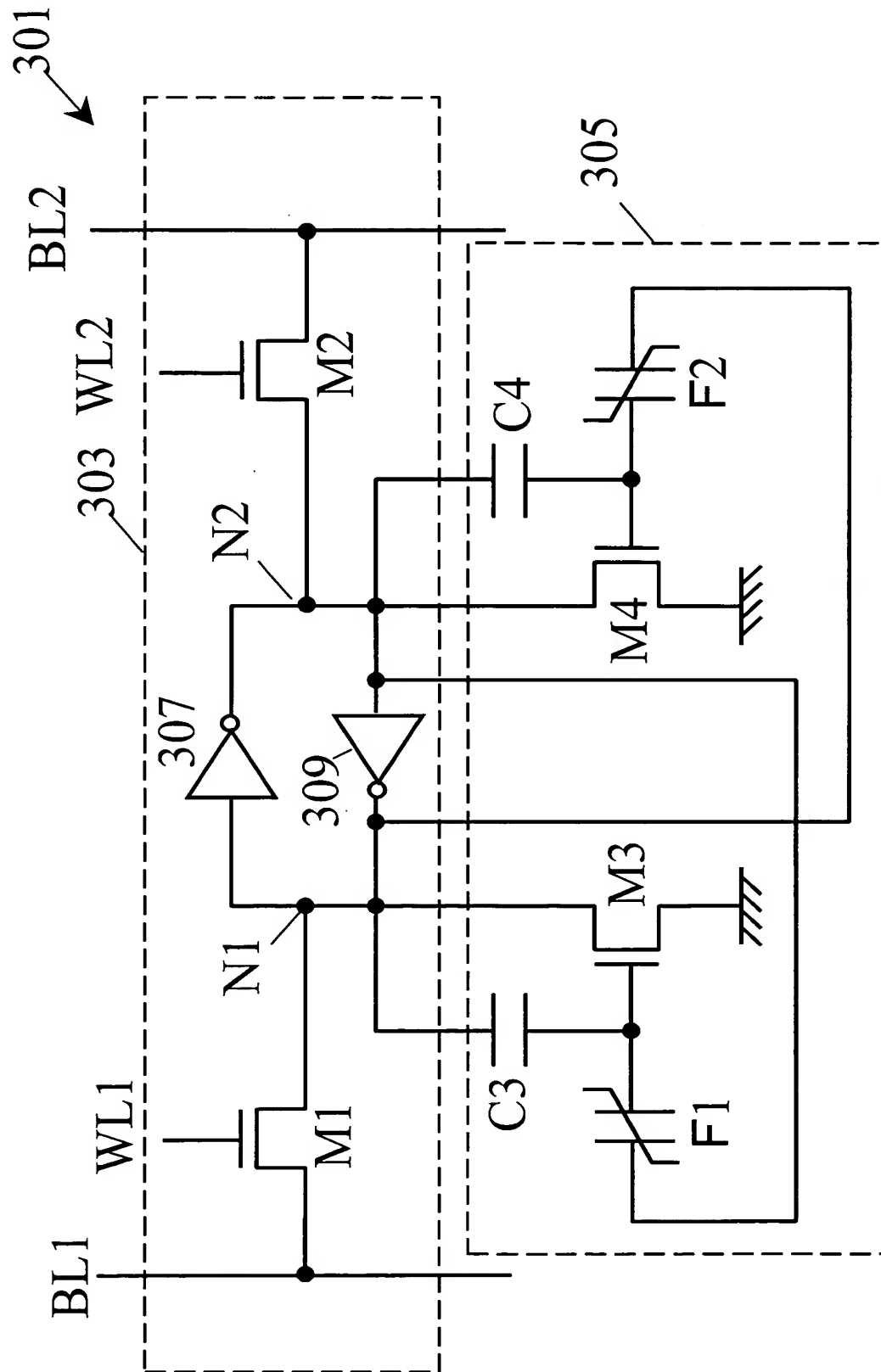


Fig. 15

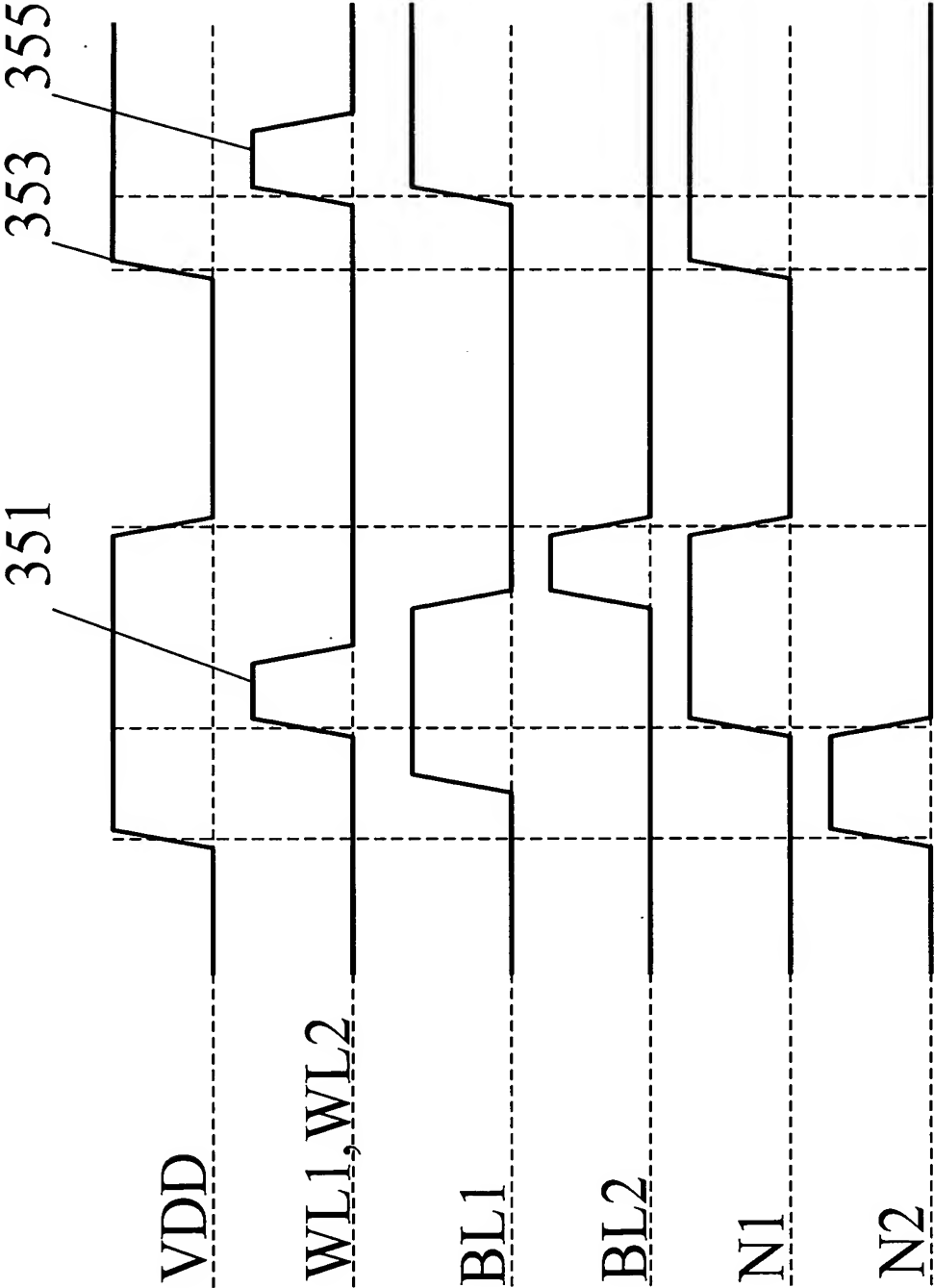


Fig. 16A

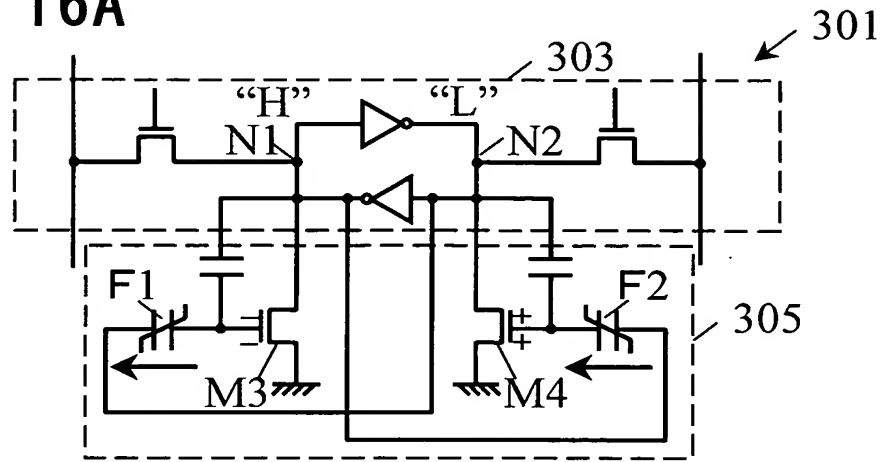


Fig. 16B

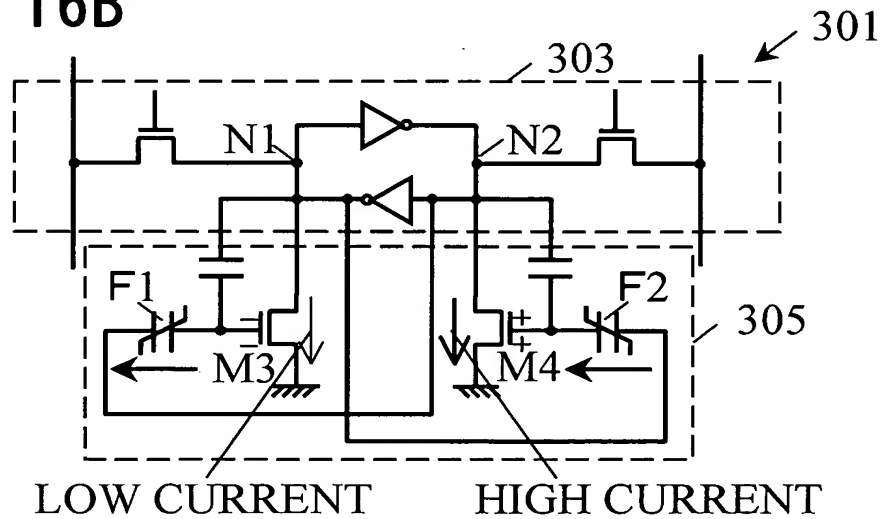


Fig. 16C

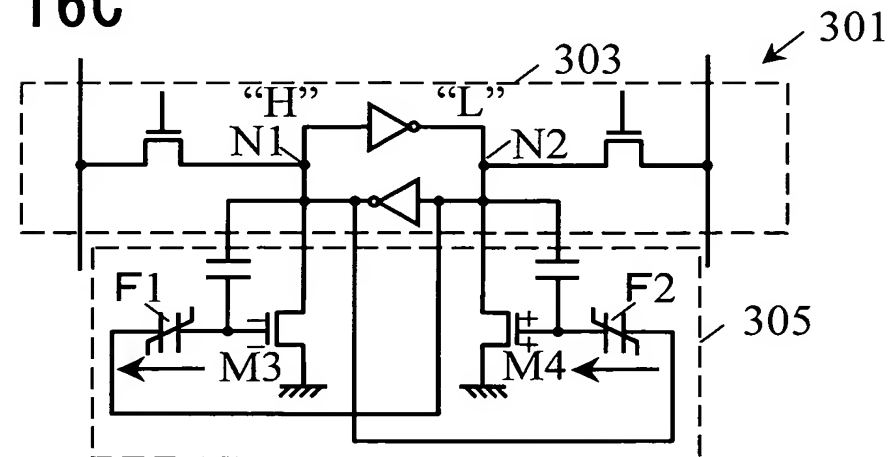


Fig. 17

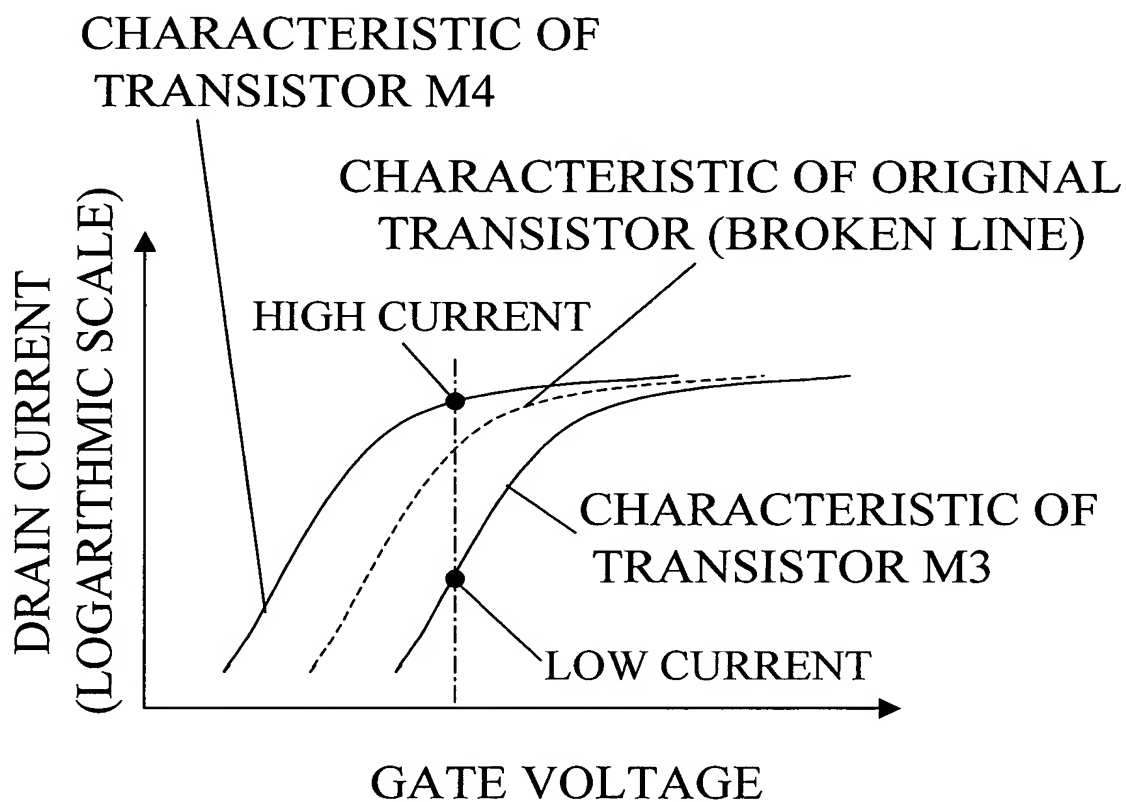


Fig. 18

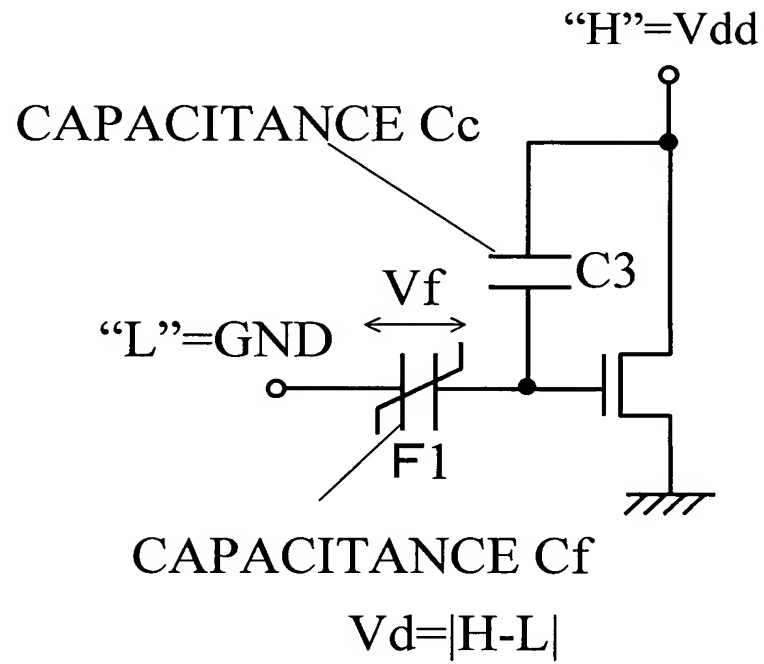


Fig. 19

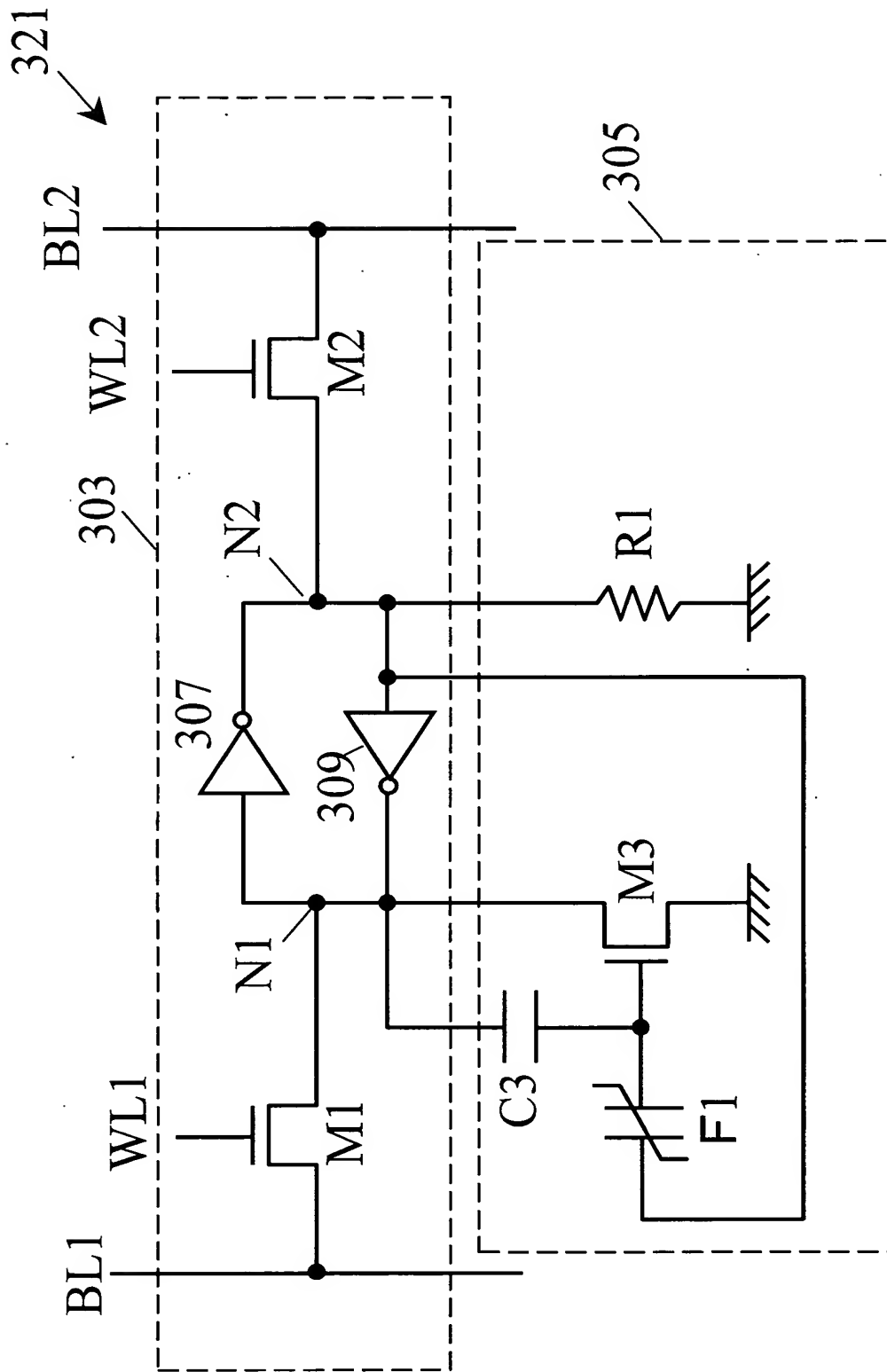




Fig. 21

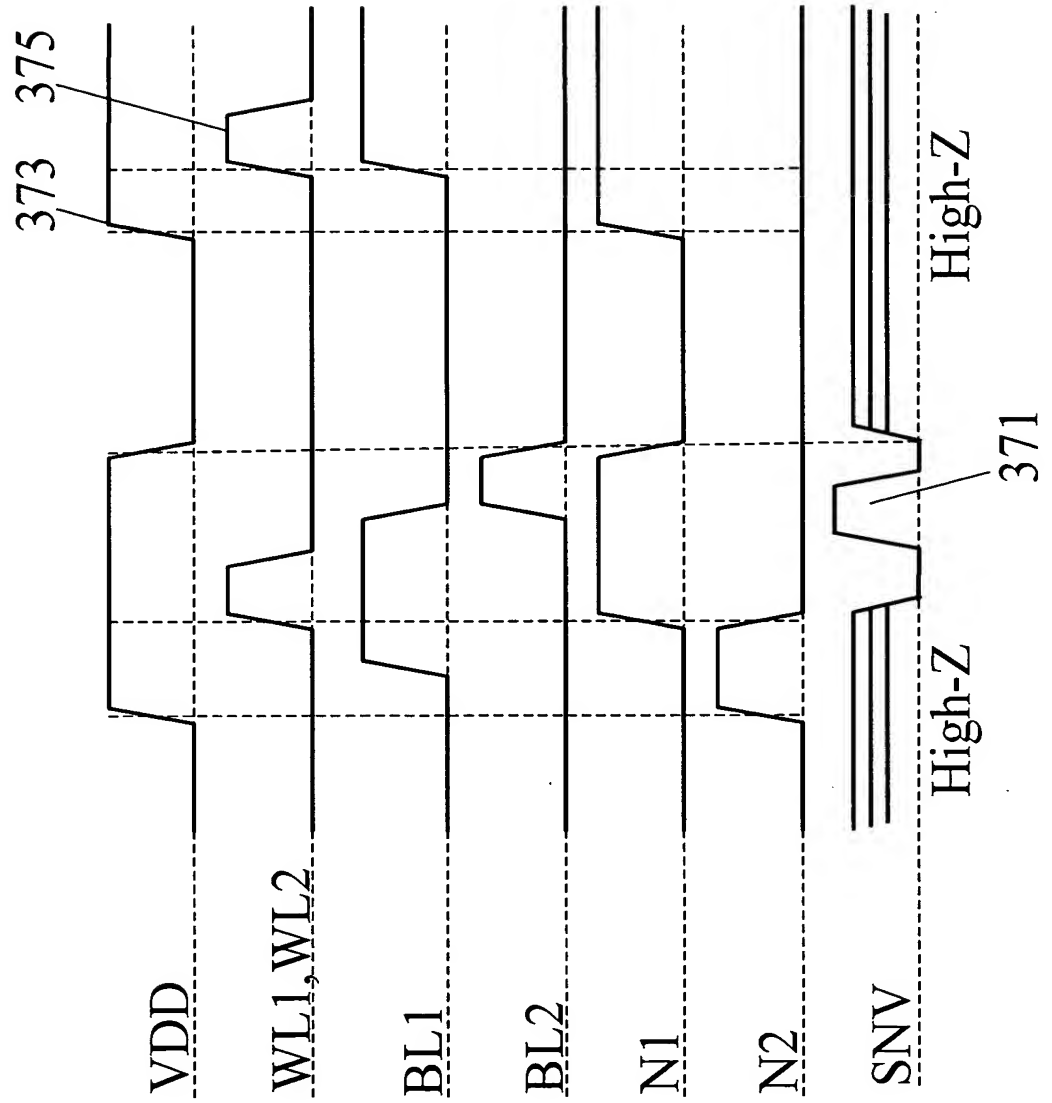


Fig. 22

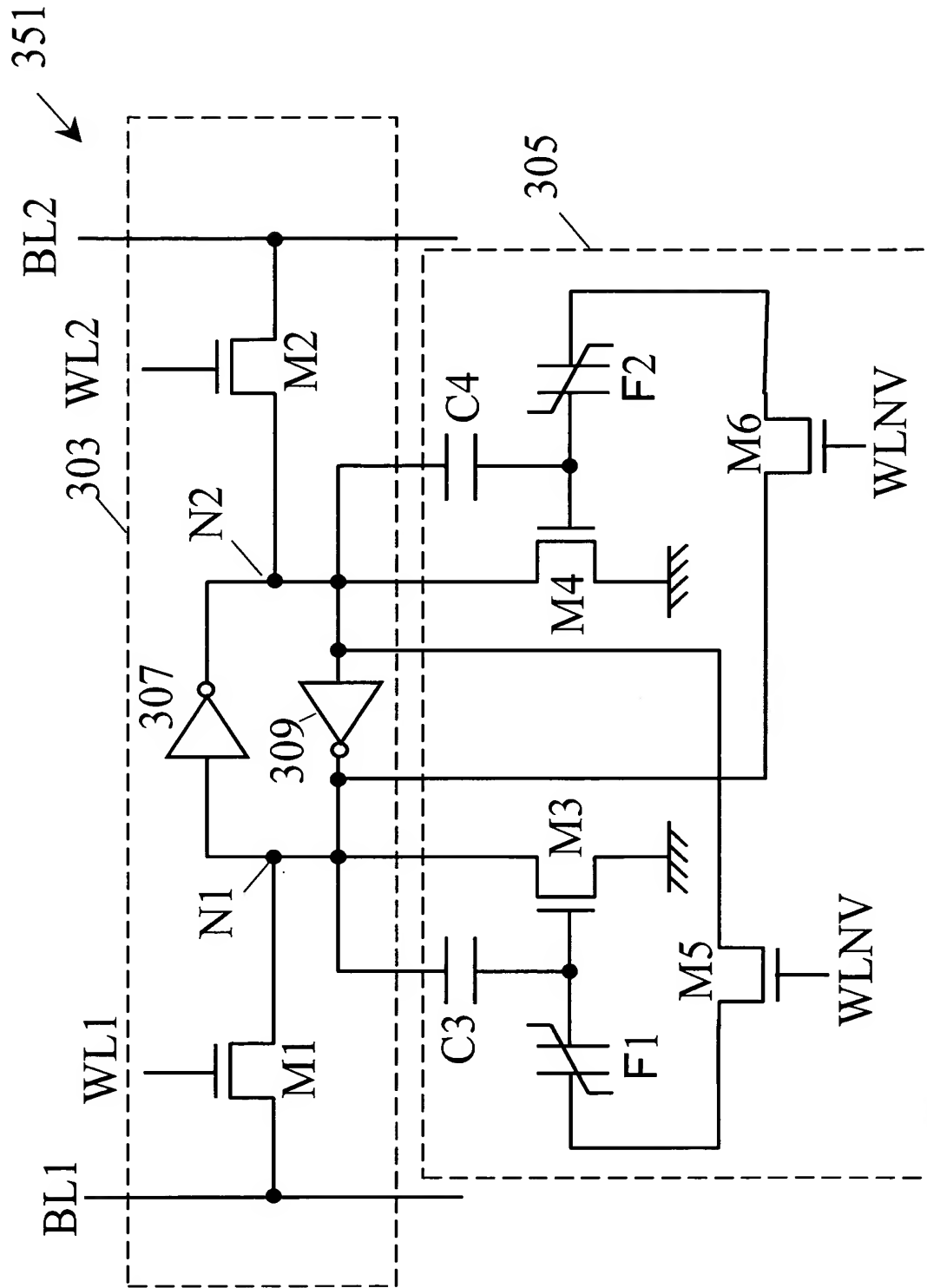
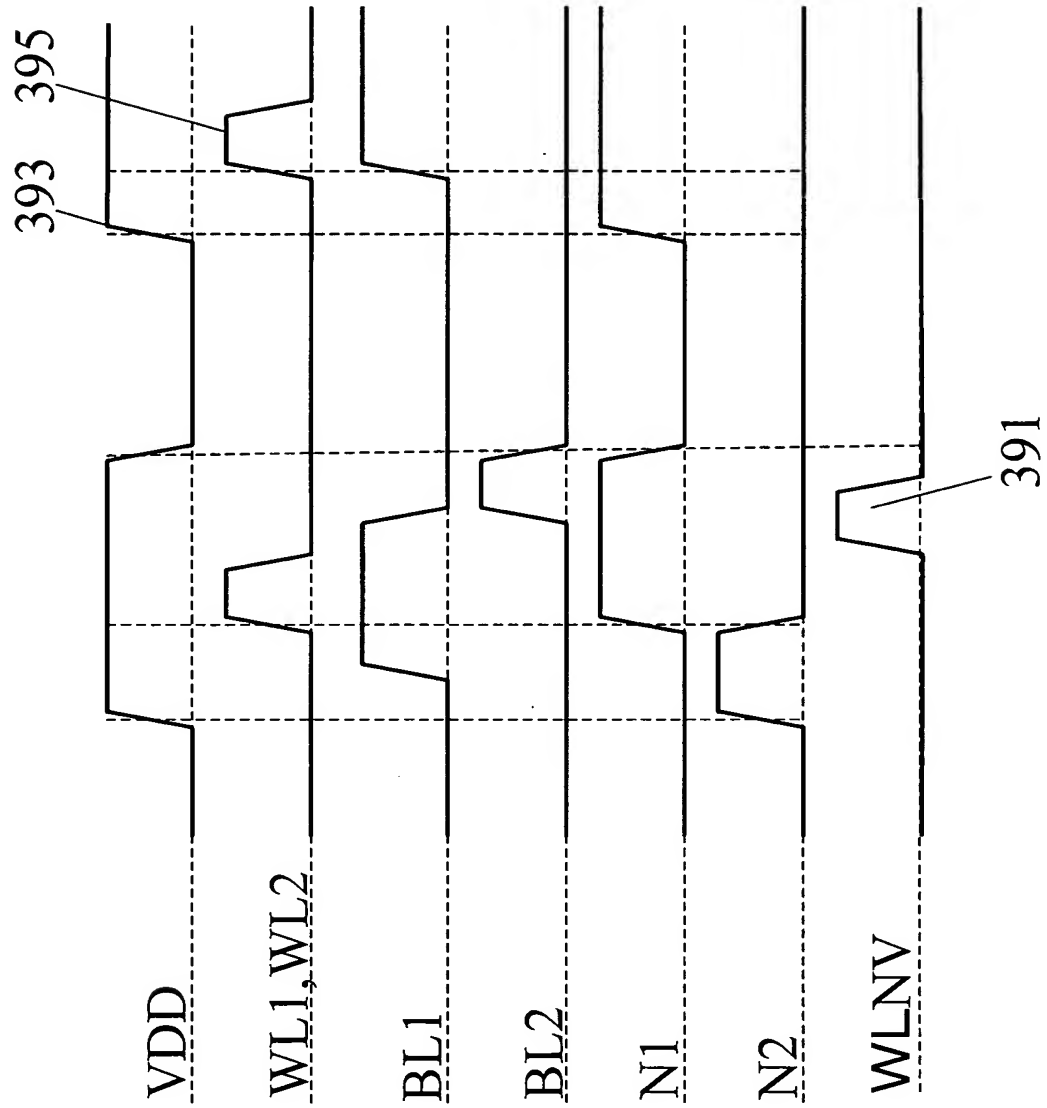


Fig. 23



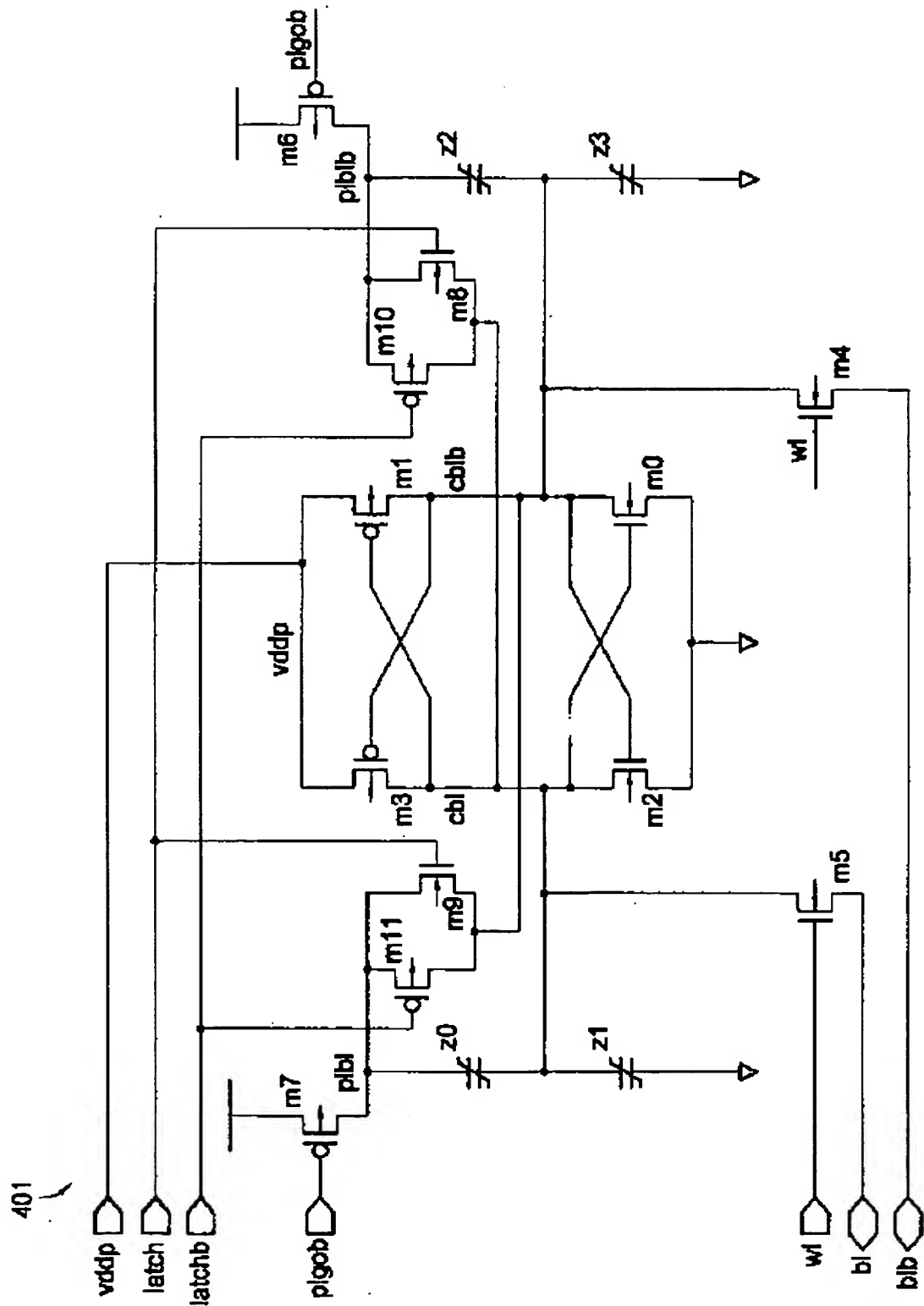


Fig. 25 (Prior Art)

